# Diagrammes potentiel-pH

■ Sommaire					
I Présentation					
I/A Nécessité des diagrammes $E-\mathrm{pH}$					
I/B Analyse d'un diagramme $E-\mathrm{pH}$					
I/C Diagramme $E$ – pH de l'eau					
II Construction et lecture					
II/A Remplissage des espèces					
II/B Position des frontières					
III Utilisation des diagrammes $E-\mathbf{p}\mathrm{H}$					
III/A Sens spontané de réaction					
III/B Stabilité d'une espèce dans l'eau					
III/C Cas particuliers des dismutations					
& Capacités exigibles					
☐ Identifier les différents domaines d'un diagramme fourni associés à des espèces chimiques données.	Prévoir le caractère thermodynamiquement favorisé ou non d'une transformation par superposition de diagrammes.				
Déterminer la valeur de la pente d'une frontière	Prévoir la stabilité des espèces dans l'eau.				
dans un diagramme potentiel-pH.	Prévoir une dismutation ou médiamutation en fonction du pH du milieu.				
Ustifier la position d'une frontière verticale.					
$\bigcirc$ Déterminer la valeur d'une constante (p $K_A$ , p $K_s$ ou $E^{\circ}$ ) à partir d'un diagramme fourni.	Confronter les prévisions à des données expérimentales et interpréter d'éventuels écarts en termes cinétiques.				
✓ L'essentiel					
Définitions  TM7.1 : Diagramme potentiel-pH 2  Propriétés  TM7.1 : Stabilité dans l'eau	☐ TM7.1 : Diagramme $E$ —pH de l'aluminium 2 ☐ TM7.2 : Dis- et médiamutation de l'iode 8  ☐ Points importants ☐ TM7.1 : Frontières d'un diagramme $E$ —pH 2 ☐ TM7.2 : Placer les espèces 3 ☐ TM7.3 : Placer les frontières 5 ☐ TM7.4 : Sens spontané de réaction 7				
☐ TM7.1 : Solides hydroxydes 4	TM7.1 : Stabilité et cinétique 7				

### I | Présentation

### I/A Nécessité des diagrammes E - pH

Nous avons vu dans les chapitres précédents que les couples acido-basiques possédaient des domaines de prédominance (ou d'existence) en fonction du pH, et que les couples d'oxydoréduction possédaient des domaines de prédominance en fonction du potentiel. Ainsi, les couples rédox présentant des comportement acido-basiques possèdent des diagrammes de prédominance en fonction de ces deux paramètres.

#### Définition TM7.1 : Diagramme potentiel-pH

Une espèce chimique conjuguée à d'autres espèces via plusieurs couples acido-basiques et rédox possède des domaines représentables en fonction du **potentiel** (en ordonnée) et du **pH** (en abscisse).

# Z

#### Exemple TM7.1 : Diagramme E - pH de l'aluminium

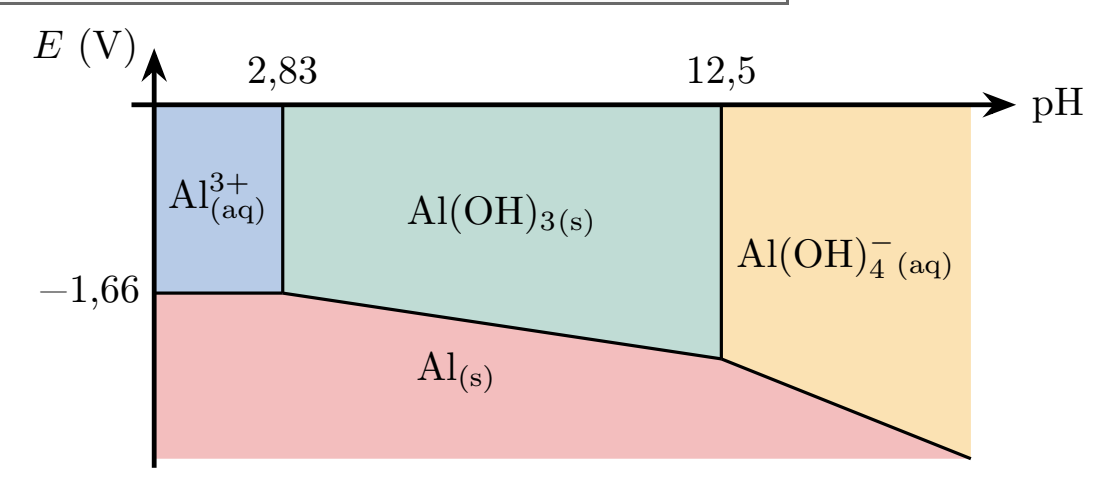


FIGURE TM7.1 – Diagramme E – pH de l'aluminium.

On note que l'on a bien besoin de la donnée combinée du pH **et** du potentiel pour déterminer quelle forme domine.

## $oxed{I/B}$ Analyse d'un diagramme E-pH

## $\bigcirc$

### Important TM7.1 : Frontières d'un diagramme E-pH

On distingue trois types de frontières sur l'exemple précédent :

- ♦ Frontière horizontale : sépare un couple purement rédox, donc de n.o. différents.
- ♦ Frontière verticale : sépare un couple purement acide-base, donc <u>de même n.o.</u>.
- ♦ Frontière inclinée : sépare un couple à la fois rédox et AB.

Ainsi, on trouvera qualitativement les espèces en fonction du pH et du potentiel telles que :

- $\diamond$  Bas pH = acide; haut pH = base.
- $\diamond$  **Bas**  $E = \underline{\text{réducteur}}$ ; **haut** E = oxydant.

## $\overline{I/C}$ Diagramme E-pH de l'eau



#### ♥ Application TM7.1 : Tracé du diagramme de l'eau

Tracer le diagramme  $E-\mathrm{pH}$  de l'eau.

On prendra comme convention de tracé  $p_t = p^{\circ}$ .

$$E^{\circ}(O_{2(g)}/H_2O_{(l)}) = E_1^{\circ} = 1,23 \,\mathrm{V}$$
  
 $E^{\circ}(H_2O_{(l)}/H_2(g)) = 0,00 \,\mathrm{V}.$ 

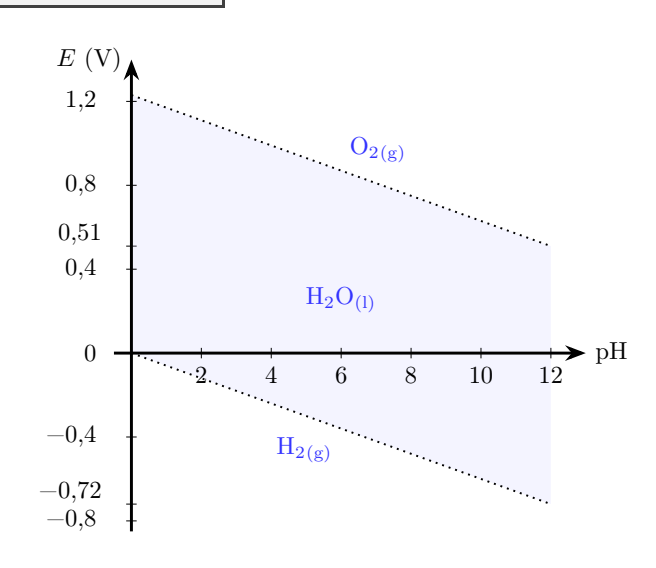


FIGURE TM7.2 – E – pH de l'eau.

$$\diamond O_{2(g)}/H_2O_{(l)}:$$

$$2 H_{2}O_{(l)} = O_{2(g)} + 4 H_{(aq)}^{+} + 4 e^{-}$$

$$\Rightarrow E_{1} = E_{1}^{\circ} + \frac{0.06}{4} \log \left( \frac{[H^{+}]^{4} p_{O_{2}}}{c^{\circ 4} p^{\circ}} \right)$$

$$\Leftrightarrow E_{1} = E_{1}^{\circ} - 0.06 pH + \frac{0.06}{4} \log \left( \frac{p_{O_{2}}}{p^{\circ}} \right)$$

$$\Rightarrow E_{front} = E_{1}^{\circ} - 0.06 pH + \frac{0.06}{4} \log \left( \frac{p_{t}}{p^{\circ}} \right)$$

$$\Leftrightarrow E_{front} = 1.23 - 0.06 pH$$

$$\Leftrightarrow H_2O_{(1)}/H_2(g) :$$

$$H_{2(g)} = 2 H_{(aq)}^{+} + 2 e^{-}$$

$$\Rightarrow E_{2} = E_{2}^{\circ} + \frac{0.06}{2} \log \left( \frac{[H^{+}]^{2} p^{\circ}}{c^{\circ 2} p_{H_{2}}} \right)$$

$$\Leftrightarrow E_{2} = E_{2}^{\circ} - 0.06 pH + \frac{0.06}{2} \log \left( \frac{p^{\circ}}{p_{H_{2}}} \right)$$

$$\Rightarrow E_{front} = E_{2}^{\circ} - 0.06 pH + \frac{0.06}{2} \log \left( \frac{p^{\circ}}{p_{t}} \right)$$

$$\Leftrightarrow E_{front} = -0.06 pH$$

### II | Construction et lecture

### II/A Remplissage des espèces



#### Important TM7.2 : Placer les espèces

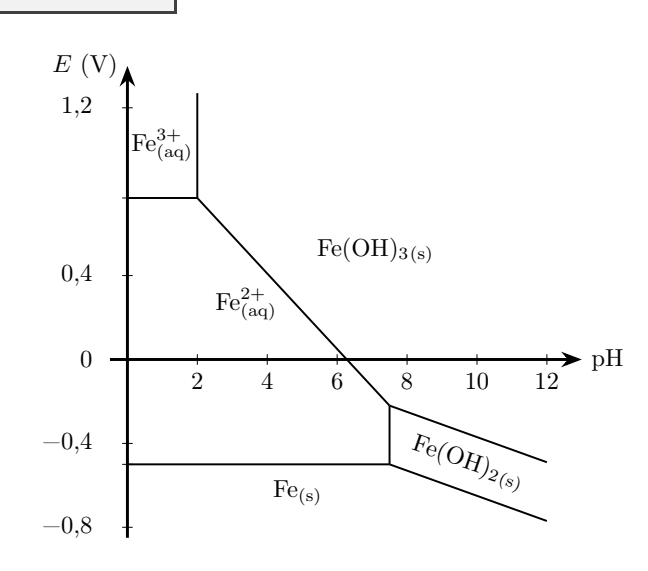
- 1 Déterminer les **n.o.** de l'élément dans chacune des espèces données;
- $\boxed{2}$  Déterminer le caractère **acide ou basique** de chaque espèce de **même n.o.** ;
- 3 Tracer un diagramme simplifié sans frontière inclinée, aussi appelé diagramme de situation :
  - ▷ Le nombre d'oxydation augmente de bas en haut.
  - $\triangleright$  Les espèces acides sont à gauche, les espèces basiques <u>à droite</u>.



#### Application TM7.2 : Placement des espèces du fer

On donne l'allure du diagramme du fer cicontre.

Les espèces à placer sont  $Fe_{(s)}$ ,  $Fe_{(aq)}^{2+}$ ,  $Fe_{(aq)}^{3+}$ ,  $Fe(OH)_{2(s)}$  et  $Fe(OH)_{3(s)}$ .



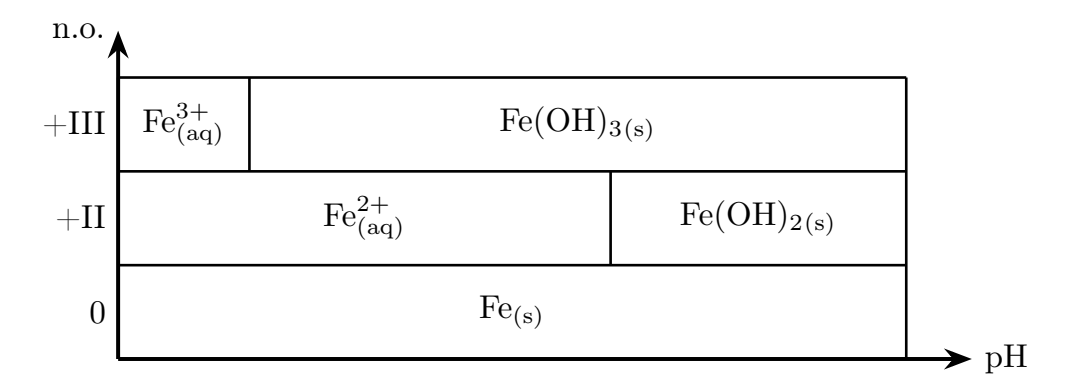
#### Nombres d'oxydation :

$\overline{\text{Fe}_{(s)}}$	$\mathrm{Fe_{(aq)}^{2+}}$	$Fe^{3+}_{(aq)}$	$Fe(OH)_{2(s)}$	$_{\rm s)} \overline{\rm Fe(OH)_{3(s)}}$
0	+II	+III	+II	+III

#### 2 Espèces basiques :

$$\begin{array}{lll} \text{n.o.(Fe)} = +\text{II}: & \text{Fe}_{(aq)}^{2+} + 2\text{HO}_{(aq)}^{-} = \text{Fe}(\text{OH})_{2(s)} \\ \Leftrightarrow & \text{Fe}_{(aq)}^{2+} + 2\text{H}_2\text{O}_{(l)} = \text{Fe}(\text{OH})_{2(s)} + 2\text{H}_{(aq)}^{+} & \text{couple Fe}^{2+}/\text{Fe}(\text{OH})_2 \\ \text{n.o.(Fe)} = +\text{III}: & \text{Fe}_{(aq)}^{3+} + 3\text{HO}_{(aq)}^{-} = \text{Fe}(\text{OH})_{3(s)} \\ \Leftrightarrow & \text{Fe}_{(aq)}^{3+} + 3\text{H}_2\text{O}_{(l)} = \text{Fe}(\text{OH})_{3(s)} + 3\text{H}_{(aq)}^{+} & \text{couple Fe}^{3+}/\text{Fe}(\text{OH})_3 \\ \end{array}$$

### 3 Diagramme de situation :





#### Remarque TM7.1: Solides hydroxydes

Écrire les réactions acide-base permet de se convaincre définitivement de qui est l'acide et qui est la base, mais en réalité il est évident qu'un composé susceptible de **céder un ion HO**<sup>-</sup> est une **espèce basique**; grâce à l'autoprotolyse de l'eau, la définition du chapitre 4 s'inverse entre donneur et receveur quand on change le composé de transfert (H<sup>+</sup> ou HO<sup>-</sup>).

### II/B Position des frontières

Une fois les espèces placées, on cherche les valeurs remarquables d'un diagramme : **position** d'une frontière verticale ou horizontale ou **pente** d'une frontière inclinée.



#### Important TM7.3: Placer les frontières

1 Frontières horizontales : comme elles séparent des couples rédox, on trouve la limite comme pour les diagrammes de prédominance rédox :

- 2 Frontières verticales : comme elles séparent des couples acide-base de même nombre d'oxydation, on trouve les limites des diagrammes de prédominance ou d'existence :
  - $\diamond$  Si espèces dissoutes,  $pH_{\text{front}} = pK_A$ ;
  - $\diamond$  Si précipité, pH<sub>front</sub> dépend de p $K_s$  et de  $c_t|p_t$ .
- 3 Frontières inclinées : on exprime E(Ox/Red) en fonction du pH pour trouver la pente.



#### Application TM7.3: Placement des frontières du fer

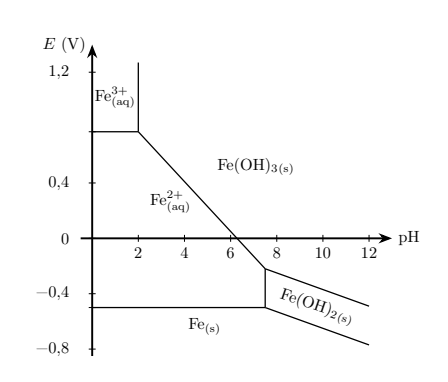
On rappelle ci-contre le diagramme du fer. On donne de plus

$$\Leftrightarrow E_1^{\circ}(Fe_{(aq)}^{2+}/Fe) = -0.44 V; E_2^{\circ}(Fe_{(aq)}^{3+}/Fe_{(aq)}^{2+}) = 0.77 V;$$

$$\Leftrightarrow pK_{s,2} = pK_s(Fe(OH)_2) = 15 \text{ et } pK_{s,3} = pK_s(Fe(OH)_3) = 38;$$

 $\diamond$  Convention de tracé  $c_t = 0.01 \,\mathrm{mol}\cdot\mathrm{L}^{-1}$ .

Déterminer la position des frontières horizontales et verticales, puis les pentes des frontières inclinées.



1 Frontières horizontales : ce sont celles des couples  $Fe^{2+}_{(aq)}/Fe$  et  $Fe^{3+}_{(aq)}/Fe^{2+}_{(aq)}$ 

- $\Leftrightarrow \text{Fe}_{(\text{aq})}^{3+}/\text{Fe}_{(\text{aq})}^{2+}: \qquad \text{Fe}_{(\text{aq})}^{2+} = \text{Fe}_{(\text{aq})}^{3+} + \text{e}^{-}$   $\Rightarrow \qquad E_{2} = E_{2}^{\circ} \left( \text{Fe}^{3+}/\text{Fe}^{2+} \right) + 0.06 \log \frac{[\text{Fe}^{2+}]}{[\text{Fe}^{2+}]}$   $[X_{(\text{aq})}]_{\text{front}} = c_{t} \Rightarrow \qquad E_{2,\text{front}} = E_{2}^{\circ} = 0.77 \text{ V}$
- 2 Frontières verticales : Ce sont les frontières des couples acide-base déterminés plus tôt :

$$\begin{array}{lll} \diamondsuit \ \ \mathrm{Fe}_{(\mathrm{aq})}^{2+}/\mathrm{Fe}(\mathrm{OH})_{2(\mathrm{s})} : & \mathrm{Fe}(\mathrm{OH})_{2(\mathrm{s})} = \mathrm{Fe}_{(\mathrm{aq})}^{2+} + 2\,\mathrm{HO}_{(\mathrm{aq})}^{-} & K_{s,2} \\ & \mathrm{Condition\ pr\acute{e}cipit\acute{e}} : & K_{s,2} = \frac{[\mathrm{HO}^{-}]_{\mathrm{front}}^{2}[\mathrm{Fe}^{2+}]_{\mathrm{front}}}{c^{\circ 3}} \\ & \Leftrightarrow \mathrm{p}K_{s,2} = 2\mathrm{pOH}_{\mathrm{front}} - \log c_{t}/c^{\circ} \\ & \mathrm{pOH} = \mathrm{p}K_{e} - \mathrm{pH} : & \Leftrightarrow \mathrm{pH}_{\mathrm{front}} = \mathrm{p}K_{e} - \frac{1}{2}\mathrm{p}K_{s,2} - \frac{1}{2}\log c_{t}/c^{\circ} \\ & \Leftrightarrow \mathrm{pH}_{\mathrm{front}} = 7{,}5 \\ & \Leftrightarrow \mathrm{Fe}_{(\mathrm{aq})}^{3+}/\mathrm{Fe}(\mathrm{OH})_{3(\mathrm{s})} : & \mathrm{Fe}(\mathrm{OH})_{3(\mathrm{s})} = \mathrm{Fe}_{(\mathrm{aq})}^{3+} + 3\,\mathrm{HO}_{(\mathrm{aq})}^{-} & K_{s,3} \\ & \mathrm{Condition\ pr\acute{e}cipit\acute{e}} : & K_{s,3} = \frac{[\mathrm{HO}^{-}]_{\mathrm{front}}^{3}[\mathrm{Fe}^{3+}]_{\mathrm{front}}}{c^{\circ 4}} \\ & \Leftrightarrow \mathrm{p}K_{s,3} = 3\mathrm{pOH}_{\mathrm{front}} - \log c_{t}/c^{\circ} \\ & \mathrm{pOH} = \mathrm{p}K_{e} - \mathrm{pH} : & \Leftrightarrow \mathrm{pH}_{\mathrm{front}} = \mathrm{p}K_{e} - \frac{1}{3}\mathrm{p}K_{s,3} - \frac{1}{3}\log c_{t}/c^{\circ} \\ & \Leftrightarrow \mathrm{pH}_{\mathrm{front}} = 2{,}0 \\ \end{array}$$

3 Frontières inclinées : on étudie la pente des équilibres restants :

$$\begin{array}{ll} \diamondsuit \ \ \mathrm{Fe}(\mathrm{OH})_{2(\mathrm{s})}/\mathrm{Fe}_{(\mathrm{s})} : & \mathrm{Fe}_{(\mathrm{s})} + 2\,\mathrm{H}_2\mathrm{O}_{(\mathrm{l})} = \mathrm{Fe}(\mathrm{OH})_{2(\mathrm{s})} + 2\,\mathrm{H}_{2\mathrm{Q}}^+ + 2\,\mathrm{e}^- \\ & E_{\mathrm{front}} = E^{\circ}(\mathrm{Fe}(\mathrm{OH})_{2(\mathrm{s})}/\mathrm{Fe}_{(\mathrm{s})}) + \frac{0.06}{2}\,\mathrm{log}[\mathrm{H}^+]^2/c^{\circ 2} \\ & \Leftrightarrow E_{\mathrm{front}} = E^{\circ}(\mathrm{Fe}(\mathrm{OH})_{2(\mathrm{s})}/\mathrm{Fe}_{(\mathrm{s})}) \underline{-0.06\mathrm{pH}} \\ \end{array}$$

♦ 
$$Fe(OH)_{3(s)}/Fe(OH)_{2(s)}$$
:  $Fe(OH)_{2(s)} + H_2O_{(l)} = Fe(OH)_{3(s)} + H_{(aq)}^+ + e^-$ 

$$E_{front} = E^{\circ}(Fe(OH)_{3(s)}/Fe(OH)_{2(s)}) + 0.06 \log[H^+]/c^{\circ}$$

$$\Leftrightarrow E_{front} = E^{\circ}(Fe(OH)_{3(s)}/Fe(OH)_{2(s)}) - 0.06 pH$$

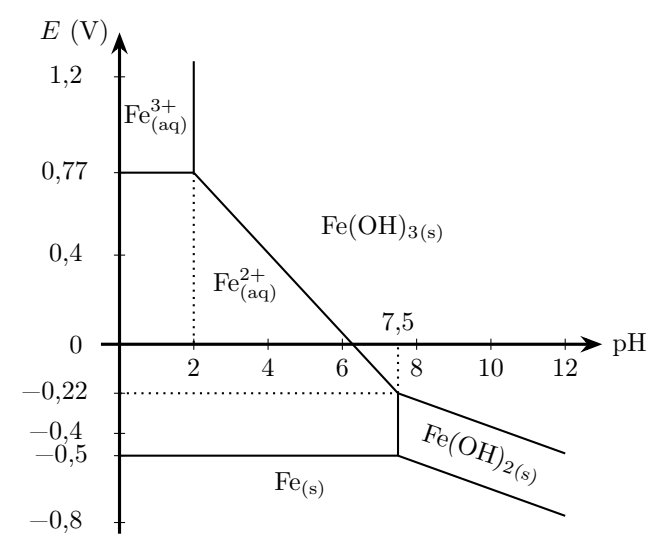


FIGURE TM7.3 – Diagramme E – pH du fer complété.

### III Utilisation des diagrammes E - pH

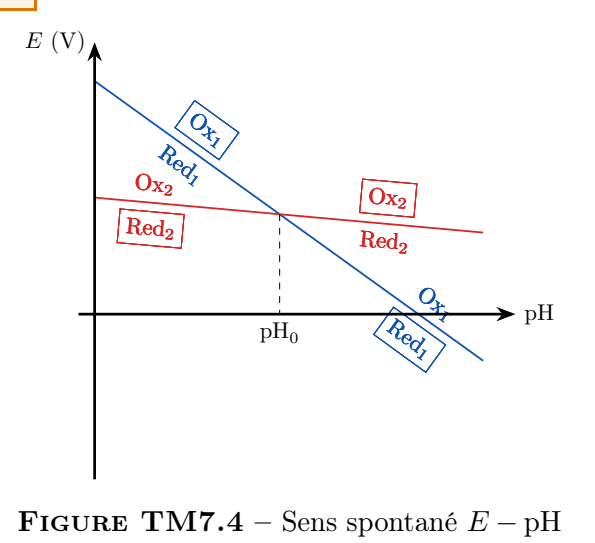
#### Sens spontané de réaction



#### Important TM7.4 : Sens spontané de réaction

Comme dans le chapitre précédent, l'oxydant le plus fort réagit avec le réducteur le plus fort; cependant, la force ne dépend plus uniquement de  $E^{\circ}$  mais dépend du potentiel total E.

On le repère sur un diagramme E – pH en regardant quelles espèces ont des domaines disjoints.



## III/B

#### Stabilité d'une espèce dans l'eau

Le plus souvent, on s'intéresse au sens spontané de réaction d'une espèce en contact avec l'eau, par exemple pour conclure quant à la possibilité de rouille. On utilise pour ça la superposition des diagrammes:



### Propriété TM7.1 : Stabilité dans l'eau

À pH fixé, s'il existe un domaine de **potentiel** commun entre l'eau et l'espèce étudiée en superposant leurs diagrammes, alors l'espèce en question est stable dans l'eau.

Dans le cas du fer, seul le  $Fe_{(s)}$  n'est pas stable dans l'eau, et pourra d'une part se transformer en  $Fe_{(aq)}^{2+}$  puis ultimement de  $Fe(OH)_{2(s)}$ : c'est de la rouille!

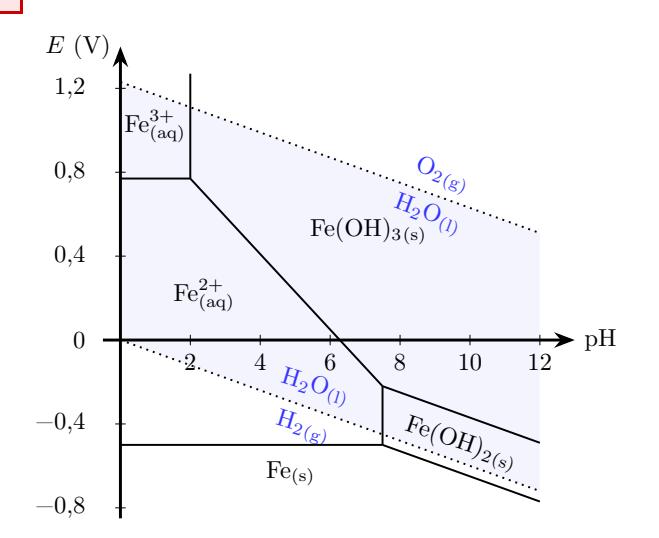


FIGURE TM7.5 - Stabilité du fer dans l'eau



#### Attention TM7.1 : Stabilité et cinétique

Tous les chapitres étudiés ne portent que sur les **équilibres** chimiques. Mis à part le chapitre traitant spécifiquement de cinétique, toutes nos conclusions de sont que pour  $t \to \infty$ !

Ainsi, une espèce peut très bien être instable dans l'eau et avoir une réaction totale avec elle tout en n'étant que très lentement rongée par elle. C'est notamment ce qu'on étudie dans la science de la corrosion.

### III/C Cas particuliers des dismutations



#### Exemple TM7.2 : Dis- et médiamutation de l'iode

Sans prendre en compte les réactions de dismutation et de médiamutation, le diagramme de l'iode a l'allure suivante :

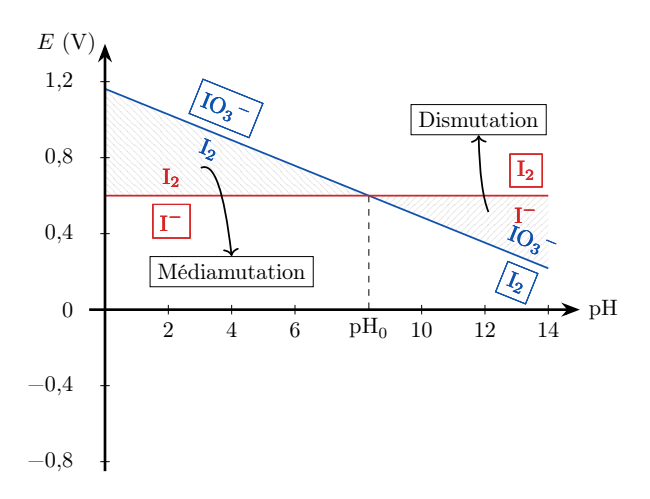


FIGURE TM7.6 – Iode sans dismutation.

Pour pH  $\gtrsim$  8, le diiode réagit sur lui-même pour former I $^-$  et  ${\rm IO_3}^-$ ; il reste le couple  ${\rm IO_3}^-/{\rm I}^-$ :

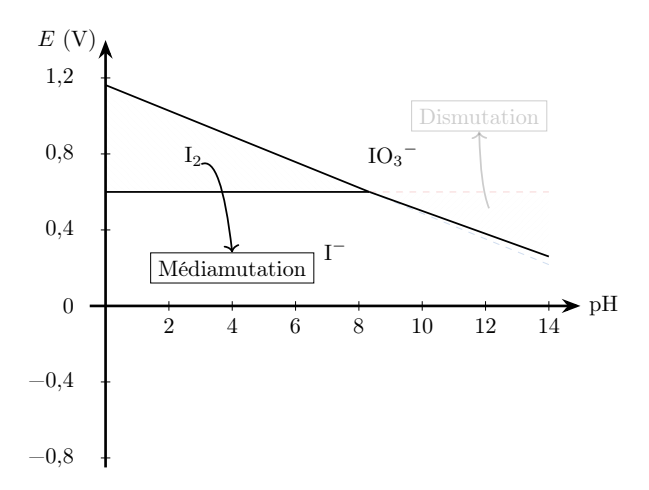


FIGURE TM7.7 - Iode avec dismutation.



#### Interprétation TM7.1 : Repérer une dismutation sur un diagramme

- $\diamond$  Disparition d'une frontière  $\equiv$  dismutation;
- $\diamond$  Domaine en triangle  $\equiv$  médiamutation.